

Research Article

Morphometric and phylogenetic study of *Ostertagia (Teladorsagia)* isolates in goats from the west and southwest of Iran

Alireza Alborzi^{1*}, Omid Noorani Koliji¹, Mohammad Hosein Razi jalali¹, Mohammad Reza Tabandeh², Mahdi Pourmahdi Borujeni³

¹ Department of Pathobiology, Faculty of Veterinary Medicine, Shahid Chamran University of Ahvaz, Ahvaz, Iran

² Department of Biochemistry and Molecular Biology, Faculty of Veterinary Medicine, Shahid Chamran University of Ahvaz, Ahvaz, Iran

³ Department of Food Hygiene, Faculty of Veterinary Medicine, Shahid Chamran University of Ahvaz, Ahvaz, Iran

Key Words

Ostertagia (Teladorsagia)
Morphometrics
Phylogenetics
Goat

Abstract

Introduction: *Ostertagia (Teladorsagia)* species can cause significant economic losses to animal husbandry by causing structural and functional changes in the abomasum, reducing the production and mortality of small ruminants. This study aimed to determine the morphometric and phylogenetic characteristics of species isolated from goats in the west and southwest of Iran.

Materials & methods: During 2023, a total of 315 slaughtered goats were sampled in Western (West Azerbaijan Province) (n:200) and Southwest (Khuzestan) (n:115) slaughterhouses. A total, of 320 *Ostertagia* (210 from the west) and (110 from the southwest) from the abomasum of slaughtered goats were identified and separated from other nematodes using a stereomicroscope. According to morphometric parameters, 180 *Ostertagia (Teladorsagia)* isolates of male (140) and female (40) worms, which had clear indicators, were prepared and determined by standard micrometric methods. Finally, 18 *Ostertagia* isolates (12 males and 6 females) from two regions that had the greatest phenotypic differences were sequenced using the ITS2 gene and molecular methods.

Results: The morphological and molecular results showed that the isolates included *Teladorsagia circumcincta*, *Teladorsagia trifurcata* and *Marshallagia occidentalis*. In comparison, some characteristics of male worms were significantly different between the three species of each region and also between the two regions (P<0.001). There was a significant difference in the ratio of esophagus to body length only in *Ostertagia occidentalis* species in both regions (P<0.05). Although, there was no significant difference in *Teladorsagia circumcincta* and *T. trifurcata* female worms (P<0.05). But there was a significant difference in some indicators (the length of the vulva flap, the distance of the flap from the beginning of the ovijector, and the distance of it from the end of the ovijector).

Conclusion: Phylogenetic analysis and ITS2 sequences showed the presence of four genotypes of *Teladorsagia circumcincta*, three genotypes of *Teladorsagia trifurcata* and two genotypes of *Marshallagia occidentalis*. The results of this study did not show a direct relationship between the genotypes of different isolates and the characteristics of their phenotypic changes. The relationship between phenotypic and genotypic changes requires more additional studies. Due to the regional infection of the three identified species of *Ostertagia*, it is necessary to manage their control program.

Article info

* Corresponding Author's email:
a.alborzi@scu.ac.ir

Received: 24 November 2024

Reviewed: 2 January 2025

Revised: 13 March 2025

Accepted: 16 April 2025

مقاله علمی - پژوهشی

مطالعه مورفومتریک و فیلوژنتیک جدایه‌های استراتژیا (تلا دور ساژیا) در بزهای غرب و جنوب غرب ایران

علیرضا البرزی^{*}، امید نورانی‌کلیجی^۱، محمدحسین راضی‌جلالی^۱، محمدرضا تابنده^۲، مهدی پورمهدی بروجنی^۳

^۱ گروه پاتوبیولوژی، دانشکده دامپزشکی، دانشگاه شهید چمران اهواز، اهواز، ایران

^۲ گروه بیوشیمی و بیولوژی مولکولی، دانشکده دامپزشکی، دانشگاه شهید چمران اهواز، اهواز، ایران

^۳ گروه بهداشت مواد غذایی، دانشکده دامپزشکی، دانشگاه شهید چمران اهواز، اهواز، ایران

کلمات کلیدی

استراتژیا (تلا دور ساژیا)
مورفومتریک
فیلوژنتیک
بز

چکیده

مقدمه: گونه‌های استراتژیا (تلا دور ساژیا) با ایجاد تغییرات ساختاری و عملکردی در شیردان و کاهش تولید و مرگ و میر نشخوارکنندگان کوچک می‌تواند خسارات اقتصادی قابل توجهی به دامداری وارد کند. این مطالعه با هدف تعیین ویژگی‌های ریخت‌سنجی و فیلوژنی گونه‌های جدا شده از بزهای غرب و جنوب غرب ایران انجام شد.

مواد و روش‌ها: طی سال ۱۴۰۱، در مجموع از ۳۱۵ راس بز ذبح شده در کشتارگاه‌های غرب (استان آذربایجان غربی) (۲۰۰ راس) و جنوب غرب (خوزستان) (۱۱۵ راس) نمونه‌گیری شد. تعداد ۳۲۰ نمونه استراتژیا (۲۱۰ نمونه از غرب) و (۱۱۰ نمونه از جنوب غرب) از شیردان بزهای ذبح شده، با استفاده از استریومیکروسکوپ شناسایی و از سایر نماتدها جداسازی گردید. براساس پارامترهای مورفومتریک، تعداد ۱۸۰ جدایه از کرم‌های نر (۱۴۰) و ماده (۴۰) استراتژیا (تلا دور ساژیا) که دارای شاخص‌های واضح بودند، آماده‌سازی و با روش‌های میکرومتری استاندارد تعیین گردید. در نهایت، ۱۸ جدایه (۱۲ نر و ۶ ماده) از دو منطقه که دارای بیش‌ترین تفاوت فنوتیپی بودند با استفاده از ژن ITS2 و روش‌های مولکولی تعیین توالی شدند.

نتایج: نتایج مورفولوژیکی و مولکولی نشان داد که جدایه‌های شناسایی شده شامل تلا دور ساژیا سیرکومسینکتا، تلا دور ساژیا ترفورکاتا و مارشالاژیا اکسیدنتالیس بودند. در مقایسه، برخی شاخص‌های کرم‌های نر بین سه گونه هر منطقه و نیز در بین دو منطقه اختلاف معنی‌داری وجود داشت ($P < 0/001$). نسبت درصد مری به طول بدن تنها در گونه استراتژیا اکسیدنتالیس در هر دو منطقه، تفاوت معنی‌داری وجود داشت ($P < 0/05$). در کرم‌های تلا دور ساژیا (استراتژیا) سیرکومسینکتا و استراتژیا ترفورکاتا ماده اگرچه در برخی از شاخص‌ها اختلاف معنی‌داری وجود نداشت ($P > 0/05$). اما در برخی از شاخص‌ها (طول پرده فرجی، فاصله پرده از ابتدای اویژکتور و فاصله پرده از انتهای اویژکتور) اختلاف معنی‌داری وجود داشت.

بحث و نتیجه‌گیری: آنالیز فیلوژنتیکی و توالی‌های ITS2 حضور ۴ ژنوتیپ تلا دور ساژیا سیرکومسینکتا، سه ژنوتیپ تلا دور ساژیا ترفورکاتا و دو ژنوتیپ مارشالاژیا اکسیدنتالیس را نشان داد. نتایج این مطالعه ارتباط مستقیمی بین ژنوتیپ‌های جدایه‌های مختلف و ویژگی‌های تغییرات فنوتیپی آن‌ها نشان نداد. رابطه بین تغییرات فنوتیپی و ژنوتیپی نیازمند مطالعات تکمیلی بیش‌تری است. با توجه به آلودگی منطقه‌ای سه گونه شناسایی شده استراتژیا، مدیریت برنامه کنترلی آن‌ها ضروری است.

* پست الکترونیکی نویسنده مسئول:

a.alborzi@scu.ac.ir

تاریخ دریافت: ۴ آذر ۱۴۰۳

تاریخ داوری: ۱۲ دی ۱۴۰۳

تاریخ اصلاح: ۲۳ اسفند ۱۴۰۳

تاریخ پذیرش: ۲۷ فروردین ۱۴۰۴

مقدمه

است که با نتایج متفاوتی همراه بوده است (۱۲، ۱۳، ۱۴). با توجه مطالعات انجام شده و اهمیت ژن‌های کد کننده DNA ریبوزومی در مطالعات تاکسونومی، از تعیین توالی مستقیم ناحیه فاصله‌انداز بین ژنی داخلی (ITS)، به دلیل داشتن مناطق محافظت شده کامل تا متغیر برای تعیین اختلاف درون و میان گونه‌های به‌ویژه گونه‌های نزدیک به هم بیش‌تر استفاده می‌شوند. روشن است که شناخت کامل‌تر نماتود در میزبان‌های مختلف می‌تواند اطلاعات مفیدی جهت فهم بهتر انگل، کنترل و پیشگیری آن در اختیار محققین قرار دهد (۱۵، ۱۶، ۱۷، ۱۸). بنابراین مطالعه حاضر با هدف بررسی مورفولوژیک و مولکولی جدایه‌های استراتژیا (تلادورسازیا) از شیردان بزهای دو اقلیم جنوب غرب (جلگه‌ای) و غرب (کوهستانی) انجام شده است.

مواد و روش‌ها

منطقه مطالعه: در این مطالعه از دو استان در غرب و جنوب‌غرب نمونه‌گیری شد. استان آذربایجان غربی که در ناحیه شمال‌غرب ایران قرار دارد، بخش اصلی آن نواحی کوهستانی و متوسط ارتفاع آن ۱۸۰۰-۱۷۵۱ متر بالاتر از سطح دریا است. هم‌چنین استان خوزستان که در جنوب غربی ایران قرار دارد و بخش اصلی (حدود ۷۰ درصد) آن نواحی دشتی (جلگه) است که در ارتفاع ۱۲ متر بالاتر از سطح دریا قرار گرفته است (۱۹).

روش نمونه‌گیری: طی سال ۱۴۰۱، در مجموع از ۳۱۵ راس بز ذبح شده در کشتارگاه‌های غرب (آذربایجان غربی) (۲۰۰ راس) و جنوب غرب (خوزستان) (۱۱۵ راس) نمونه‌گیری شد. محتویات هر شیردان را به‌طور جداگانه در ظرف پلاستیکی خالی نموده و به بخش انگل‌شناسی دانشکده دامپزشکی دانشگاه شهید چمران اهواز منتقل شد. جداسازی کرم‌ها با استفاده از روش Vadlejch و همکاران و گزارشات مشابه صورت‌گرفت (۲۰) بدین ترتیب که محتویات با استفاده از الک شماره ۱۰۰ (۱۵۰ μm) و آب لوله‌کشی شستشوداده شد، سپس تمامی نماتودهای موجود جداسازی و به صورت جداگانه نگه‌داری شدند. گونه‌های مختلف نماتود استراتژیا (۳۲۰ نمونه) با استفاده از استریومیکروسکوپ از شیردان بزهای ذبح شده در کشتارگاه‌های غرب (۲۱۰ نمونه) و جنوب‌غربی (۱۱۰ نمونه) شناسایی و از سایر نماتودها جداسازی گردید، کشتن و آرام کردن نماتودهای جدا شده با آب داغ انجام شد. برای شناسایی مورفومتریک نماتودهای جمع‌آوری شده از محلول لاکتوفنل ۱۰ درصد (۲۰ میلی‌لیتر گلیسرین، ۱۰ میلی‌لیتر اسید لاکتیک، ۱۰ میلی‌لیتر بلورهای فنل ذوب شده و ۱۰ میلی‌لیتر آب مقطر) برای شفاف‌سازی و بررسی اندام‌های داخلی آن‌ها استفاده شد. سپس نماتودها را به‌طور مکرر با الک ۷۰ درصد شسته و سپس در الک ۷۰ درصد نگه‌داری شدند.

نماتودها، انگل‌های مهم دستگاه گوارش حیوانات علفخوار به شمار می‌روند. انواعی از آن‌ها در نشخوارکنندگان سراسر جهان شایع هستند. استراتژیا نماتودی از خانواده تریکوسترونژیلوئیده است. نام آن اقتباس از محقق به نام اوسترتاژ بود که در سال ۱۸۹۰ کرم‌های یافت شده در آلمان را توصیف کرد (۱). جنس استراتژیا از تنوع گونه‌ای، درون گونه‌ای و طیف وسیع میزبانی قابل ملاحظه‌ای برخوردار است. پراکنش جغرافیایی آن در سراسر جهان به‌ویژه در مناطق پرورش نشخوارکنندگان گزارش شده است. گونه‌های این انگل به علت ایجاد تغییرات ساختاری و عملکردی شیردان، کاهش تولیدات دامی و مرگ و میر می‌تواند خسارات اقتصادی قابل توجهی به صنعت دامپروری وارد کند (۲). تاکنون بیش از حدود ۲۶ گونه از نشخوارکنندگان اهلی یا وحشی شناسایی شده که بسیاری از آن‌ها تحت عنوان جنس استراتژیا (۲۱ گونه)، برخی تحت عنوان جنس تلادورسازیا (۵ گونه) معرفی شده‌اند (۳). مطالعاتی در جهان و برخی از مناطق ایران در مورد شیوع و گونه‌های این جنس از نشخوارکنندگان و عمدتاً بر اساس مورفولوژی کرم‌های نر آن‌ها انجام گرفته که با نتایج متفاوتی همراه بوده است (۴، ۵). Eslami و همکاران میزان شیوع گونه‌های استراتژیا سیرکومسینکتا را ۸۴ درصد، استراتژیا تریفورکاتا ۵۷ درصد و استراتژیا اکسیدنتالیس ۴۹/۱۱ درصد در گوسفندان برخی از مناطق ایران را گزارش نمودند (۶). Hashemzadeh Farhang و همکاران بر اساس بررسی مورفولوژی کرم‌های نر جدا شده از شیردان بزهای شهر تبریز و حومه گونه‌های ا. سیرکومسینکتا و ا. تریفورکاتا گزارش کردند (۷). Nazarbeigy و همکاران میزان شیوع گونه ا. سیرکومسینکتا در نشخوارکنندگان استان ایلام را ۱۵/۵۰ درصد گزارش نمودند (۸). Altaş و همکاران با بررسی ۷۵ نمونه شیردان مربوط به گوسفندان ترکیه، شایع‌ترین گونه استراتژیا را به ترتیب استراتژیا سیرکومسینکتا و استراتژیا اکسیدنتالیس گزارش نمودند (۹). در برخی منابع این گونه‌ها تحت عنوان تلادورسازیا سیرکومسینکتا، تلادورسازیا تریفورکاتا و مارشالاژیا اکسیدنتالیس اعلام شده‌اند (۴، ۱۰، ۱۱). مطالعات متعددی در جهان در مورد شناسایی و تمایز بین گونه‌ها و جدایه‌های حیوانات مختلف بر اساس مورفولوژی-مورفومتری و یا روش‌های مولکولی انجام شده است. شناسایی براساس پارامترهای مورفولوژی-مورفومتری متداول‌ترین روش برای تمایز آن‌ها محسوب می‌شود. به‌منظور یافتن تشابهات و یا تفاوت‌ها بین گونه‌های استراتژیا (تلادورسازیا) جدا شده از نشخوارکنندگان و برخی از نماتودهای خانواده تریکوسترونژیلوئیده از روش‌های مولکولی و با استفاده از ژن‌های ITS1، ITS2، COX1، ND4 و دیگر قطعات ژنی در برخی نقاط ایران و سایر کشورها انجام شده

انجام گردید. شرایط تکثیر دمایی شامل ۹۵ درجه سانتی‌گراد به مدت ۵ دقیقه، ۳۵ سیکل شامل ۹۴ درجه سانتی‌گراد به مدت ۴۵ ثانیه، اتصال پرایمر ۶۰ درجه سانتی‌گراد به مدت ۶۰ ثانیه و تکثیر ۷۲ درجه سانتی‌گراد به مدت ۱ دقیقه، و یک سیکل نهایی ۷۲ درجه سانتی‌گراد به مدت ۵ دقیقه بود (۱۱). به منظور ارزیابی محصولات PCR از ژل آگاروز ۱ درصد حاوی رنگ بی‌خطر (سینازن، ایران) در بافر تریس-استیک اسید-EDTA استفاده شد. الکتروفورز با ولتاژ ۱۰۰ و به مدت ۲۰ دقیقه با استفاده از دستگاه الکتروفورز ژل افقی (پایا پژوهش پارس، ایران) انجام شد. بررسی محصولات الکتروفورز با استفاده از دستگاه ژل داگ (مبنا تجهیز، ایران) انجام گردید. در نهایت نمونه‌های مثبت برای تعیین توالی به شرکت آوین بنیان ژن ارسال گردید.

رسم درخت فیلوژنتیک و بررسی توالی‌های سکانس شده:

توالی‌های به دست آمده با استفاده از نرم‌افزار chromas استخراج و با استفاده از ابزار ClustalW در نرم‌افزار MEGA7 همتراز شدند. توالی‌های همتراز شده به منظور ارزیابی میزان قرابت با توالی‌های موجود در بانک ژن با استفاده از ابزار nBLAST بانک ژن (NCBI) موجود در بانک ژن با استفاده از <https://blast.ncbi.nlm.nih.gov/Blast.cgi> مورد بررسی قرار گرفتند. سپس توالی‌های به دست آمده دارای قرابت با توالی‌های موجود از بانک ژن استخراج و با استفاده از ابزار ClustalW در نرم‌افزار MEGA7 همترازی انجام شد. درخت فیلوژنتیک با استفاده از نرم‌افزار MEGA7 بر پایه روش Neighborhood joining با در نظر گرفتن پایداری توپولوژیک با ۱۰۰۰ تکرار (Bootstrap) ارزیابی شد. توالی ژن ITS2 نامتودنماتود پروس اسپاتیگر با کد دسترسی بانک ژن (MG651886.1) به عنوان نمونه خارج گروه در رسم درخت فیلوژنتیک استفاده شد. به منظور تعیین فاصله ژنتیکی توالی‌های به دست آمده در این مطالعه با توالی‌های استحصال شده از بانک ژن از نرم‌افزار MEGA7 و روش فاصله جفت‌شده pairwise distance استفاده شد. درصد انواع جایگزینی‌های تک‌نقطه‌ای شامل انتقال (Transition) و تقاطع (Transversion) با استفاده از مدل Substitution matrix در نرم‌افزار MEGA7 برای هر گونه محاسبه شد.

تجزیه و تحلیل آماری: داده‌های جمع‌آوری شده با نرم‌افزار

SPSS نسخه ۲۲ به‌طور توصیفی (محاسبه میانگین و انحراف معیار) بررسی شدند. تحلیل داده‌ها با آنالیز واریانس سه طرفه (منطقه و گونه و جنسیت کرم) بدون در نظر گرفتن اثرات متقابل، آنالیز واریانس یک طرفه و آزمون تک‌میلی LSD و آزمون t برای دو نمونه مستقل صورت گرفت. $\alpha=0/05$ مبنای قضاوت آماری لحاظ گردید. برای رسم نمودارها از برنامه EXCEL نسخه ۲۰۱۳ استفاده شد.

بررسی‌های مورفومتریک جدایه‌ها: در این مطالعه برای تعیین

پارامترهای مورفومتریک، تعداد ۱۸۰ جدایه از کرم‌های نر (۱۴۰) و ماده (۴۰) استرناژیا (تلا دور ساژیا) که دارای شاخص‌های واضح بودند، آماده‌سازی و مورد بررسی مورفومتریک قرار گرفتند. قابل ذکر است که تعداد جدایه‌ها از هر دو منطقه با هم برابر بود. ضمن بررسی ریخت‌شناسی و اندازه‌گیری پارامترهای مشترک مهم جنس نر و ماده شامل: طول بدن نر و ماده، فاصله زایده (خار) راسی از قدام، طول مری، طول مری نسبت به کل بدن و...، و در نر شامل: طول کیسه جفت‌گیری، طول اسپیکول و گوبرناکولوم و در جنس ماده شامل: طول اویژکتور، اندازه تخم (طول و عرض)، طول دم، فاصله مخرج تا انتهای دم و... انجام شد. تمام اندازه‌گیری‌ها با استفاده از میکروسکوپ نوری و روش‌های میکرومتری استاندارد انجام و نتایج ثبت و عکس‌های مورد نظر تهیه شد.

بررسی‌های مولکولی: انتخاب نمونه‌ها برای تعیین توالی براساس

تفاوت‌های (تنوع) مورفومتریک (فنوتیپی) جدایه‌های استرناژیا (تلا دور ساژیا) از دو منطقه صورت گرفت. در مجموع تعداد ۱۸ (۱۲ نر و ۶ ماده) نمونه که دارای بیش‌ترین تفاوت فنوتیپی از سایر جدایه‌ها بودند، جهت تعیین توالی انتخاب شدند. از گونه تلا دور ساژیا سیرکومیسکتا ۷ جدایه (۴ اهواز، ۲ نکاب و ۱ مهاباد)، از گونه استرناژیا (تلا دور ساژیا) تریفور کاتا ۷ جدایه (۳ اهواز، ۱ اشویه، ۱ میان‌دوب، ۱ ارومیه و ۱ مهاباد)، و از گونه استرناژیا (مارشالاژیا) اکسیدنتالیس ۴ جدایه (۲ اهواز، ۱ بوکان و ۱ سلماس) با بیش‌ترین تفاوت فنوتیپی انتخاب شدند.

استخراج DNA و واکنش زنجیره‌ای پلیمرز (PCR): به

منظور تشخیص مولکولی جدایه‌های استرناژیا (تلا دور ساژیا) و بررسی تنوع ژنتیکی انگل‌های جداسازی شده توالی ناحیه ITS2 با طول تقریبی ۳۴۰ bp با روش PCR تکثیر شد (۲۱). توالی نوکلئوتیدی پرایمرها شامل توالی‌های زیر بودند:

NC1 (5'- ACGTCTGGTTCAGGGTTGTT-3')

NC2 (5'- TTA GTT TCT TTT CCT CCG CT-3')

استخراج DNA با استفاده از کیت استخراج DNA ژنومی بافتی (پارس توس، ایران) انجام شد. تعیین کیفیت، ارزیابی کیفیت نمونه‌های DNA براساس قرائت جذب آن‌ها در طول موج‌های ۲۶۰ و ۲۸۰ نانومتر با استفاده از دستگاه میکرواسپکتروفوتومتر (اپندورف، آلمان) و الکتروفورز ژل آگارز انجام شد. نمونه‌های با نسبت جذب ۲۶۰/۲۸۰ بالای ۱/۸ جهت انجام PCR مطلوب در نظر گرفته شدند. واکنش PCR با حجم کلی ۲۰ میکرولیتر شامل ۱۰ میکرولیتر مخلوط واکنش (پارس توس، ایران)، ۶ میکرولیتر آب مقطر دیونیزه، ۰/۵ میکرولیتر پرایمر حاوی ۱۰ پیکومول پرایمر پیشرو و ۰/۵ میکرولیتر حاوی ۱۰ پیکومول پرایمر معکوس و ۳ میکرولیتر از DNA استخراج شده

نتایج

استراتژی (تلاورسازیا) بالغ جمع آوری شده از بزهای غرب و جنوب غربی در جداول ۱ و ۲ نشان داده شده است.

نتایج بررسی های مورفومتریک جدایه ها: نتایج شاخص های مورفومتریک تعداد ۱۸۰ جدایه از کرم های نر (۱۴۰) و ماده (۴۰)

جدول ۱: پارامترهای مورفومتریک جدایه های کرم های نر استراتژی (تلاورسازیا) جمع آوری شده از بزهای غرب (کوهستانی) و جنوب غرب (جلگه ای) ایران بر اساس میانگین \pm انحراف معیار و دامنه آن ها

شاخص ها / منطقه		غرب			جنوب غرب		
(تعداد) گونه		O.t (۲۰)	T.c (۳۰)	O.o (۲۰)	O.t (۲۰)	T.c (۳۰)	O.o (۲۰)
کرم	طول	۰/۷۸±۱۰/۱۶ ^{Bb}	۰/۶۱±۱۰/۵۲ ^{Aa}	۰/۸۹±۱۰/۱۷ ^{Bb}	۰/۶۰±۱۰/۵۹ ^{Aa}	۳۳/۰±۱۰/۸۵ ^{Aa}	۰/۳۹±۱۰/۸۰ ^{Aa}
		(۹/۱۰-۳۸/۹۴)	(۹/۱۱-۹۱/۱۳)	(۹/۱۱-۲۸/۶۰)	(۹/۱۱-۹۹/۹۱)	(۱۰/۱۰-۱۱/۹۰)	(۱۰/۱۰-۱۱/۵۰)
مری	طول	۴۹/۵۷±۶۴/۰۹ ^{Ab}	۴۷/۱۹±۶۶۹/۷ ^{Ab}	۸۶/۱۰±۸۲۵ ^{Aa}	۳۴/۷۰±۶۵۰/۷۹ ^{Ab}	۳۷/۵۲±۶۷۰/۷ ^{Ab}	۶۵/۵۷±۸۱۷/۷ ^{Aa}
		(۵۱۰-۶۹۲)	(۵۳۸-۷۵۸)	(۶۵۶-۹۶۵)	(۵۹۶-۷۳۴)	(۶۱۰-۷۵۴)	(۶۶۳-۹۵۰)
عرض	عرض	۵/۹۲±۶۸/۹۳ ^{Aa}	۸/۰۳±۶۰/۶۵ ^{Ab}	۸/۱۳±۶۸/۳۰ ^{Aa}	۶/۹۹±۶۵/۶۵ ^{Aa}	۸ ^{Aa} ۶/۲۸±۶۴/۱۵	۱۱/۴۵±۰۵۰۶۷ ^{Aa}
		(۵۸-۸۱)	(۳۷-۴۶)	(۵۶-۹۰)	(۵۱-۸۲)	(۵۰-۷۲)	(۵۱-۸۵)
نسبت % طول مری	به بدن	۰/۴۶±۶/۱۶ ^{Aa}	۰/۴۵±۶/۳۷ ^{Aa}	۸/۰±۱۲/۸ ^{Bb}	۰/۴۶±۶/۱۶ ^{Aa}	۰/۴۵±۶/۳۷ ^{Aa}	۰/۵۱±۷/۵۵ ^{Bb}
		(۵/۷-۳۲/۳۸)	(۵/۰۸-۷/۰۱)	(۶/۹-۴۳/۲)	(۵/۳۲-۷/۳۸)	(۵/۰۸-۷/۰۱)	(۶/۴۴-۸/۴۱)
خار راسی فاصله	از قدام	۲۲/۹۹±۳۶۳/۳۷ ^{Aa}	۳۳/۰۵±۳۶۹/۵ ^{Ba}	۲۹/۳۳±۳۶۸ ^{Aa}	۱۹/۵۴±۳۵۱/۳۱ ^{Bb}	۳۰/۱۶±۳۸۰ ^{Aa}	۳۹/۴۰±۳۸۵/۴ ^{Aa}
		(۳۱۵-۴۱۷)	(۳۲۰-۴۴۲)	(۲۹۱-۴۱۲)	(۳۱۰-۳۸۶)	(۳۳۰-۴۵۰)	(۳۲۰-۴۴۰)
اسپیکول چپ	طول	۱۵/۳۴±۳۴۴/۷۰ ^{Aa}	۹/۶۱±۱۶۷/۱۰ ^{Bc}	۷/۴۸±۳۰۲/۳۵ ^{Ab}	۲۲/۴۰±۳۳۸/۹۳ ^{Aa}	۱۲/۶۰±۲۱۴/۵ ^{Ac}	۶/۸۸±۳۰۱/۴ ^{Ab}
		(۳۱۷-۳۸۵)	(۱۵۰-۱۷۹)	(۲۹۰-۳۲۱)	(۲۹۶-۳۷۹)	(۱۸۰-۲۳۵)	(۲۹۰-۳۱۵)
عرض	عرض	۲/۴۴±۱۶/۱۰ ^{Ac}	۵/۹۵±۲۷/۴۵ ^{Ab}	۱۱/۳۳±۴۵/۰۵ ^{Aa}	۳/۸۳±۱۶/۰۳ ^{Ac}	۵/۲۲±۲۳/۹۵ ^{Ab}	۵/۹۹±۴۶/۷۰ ^{Aa}
		(۱۲-۲۲)	(۱۸-۳۹)	(۳۰-۷۹)	(۱۲-۳۰)	(۱۲-۳۲)	(۳۶-۵۷)
راست	طول	۳۴۴/۹۰±۱۵/۴۸ ^{Aa}	۹/۵۰±۱۶۶/۹۵ ^{Bc}	۴۶/۵۴±۳۰۲/۲ ^{Ab}	۲۲/۹۲±۳۳۹/۲۱ ^{Aa}	۱۲/۶۰±۲۱۴/۵ ^{Ac}	۶/۷۸±۳۰۱/۴ ^{Ab}
		(۳۱۷-۳۸۵)	(۱۵۰-۱۷۹)	(۲۹۰-۳۲۱)	(۲۹۶-۳۸۰)	(۱۸۰-۲۳۵)	(۲۹۰-۳۱۵)
عرض	عرض	۲/۵۵±۱۶ ^{Ac}	۵/۹۳±۲۷/۵۰ ^{Ab}	۴۹/۰۵±۱۱/۳۳ ^{Aa}	۳/۰۴±۱۶/۰۳ ^{Ac}	۵/۲۲±۲۳/۹۵ ^{Ab}	۰/۶±۴۶/۰۷ ^{Aa}
		(۲۲-۱۲)	(۱۸-۳۹)	(۳۰-۷۹)	(۱۲-۲۱)	(۱۲-۳۲)	(۳۶-۵۷)
گوبرناکولوم	طول	۳/۶۳±۹۰/۴۶ ^{Ba}	-	۱/۷۹±۹۲ ^{Aa}	۲/۴۱±۹۲/۱۰ ^{Aa}	-	۰/۱±۹۳ ^{Aa}
		(۸۲-۹۵)	-	(۸۹-۹۴)	(۸۵-۹۵)	-	(۹۲-۹۴)
عرض	عرض	۵/۱۳±۳۰/۰۶ ^{Aa}	-	۵۲/۲۲±۳/۴۵ ^{Ac}	۳/۴۰±۲۶/۶۲ ^{Ba}	-	۱/۱۵±۳/۳۳ ^{Ab}
		(۲۱-۴۶)	-	(۳-۴)	(۲۰-۳۲)	-	(۲-۴)
کیسه جفتگیری	طول	۲۵/۲۷±۲۵۲/۱۳ ^{Ac}	۲۹/۵۸±۲۱۱/۳۵ ^{Ab}	۶۴/۵۴±۳۰۲/۰۵ ^{Aa}	۲۴/۵۹±۳۲۰/۲۸ ^{Bb}	۲۲/۵۷±۲۲۵/۹۵ ^{Ab}	۵۵/۶۴±۳۲۰/۹۵ ^{Aa}
		(۳۰۲-۲۰۷)	(۱۶۵-۲۶۱)	(۲۴۱-۳۸۴)	(۱۹۲-۲۸۰)	(۱۹۳-۲۶۰)	(۲۲۲-۴۴۹)
عرض	عرض	۲۴/۱۳±۱۸۳/۵ ^{Ac}	۶۲/۰۲±۱۶۵/۱ ^{Ab}	۲۷/۵۹±۲۱۴/۴ ^{Aa}	۱۸/۰۲±۱۶۷/۶۶ ^{Bb}	۳۵/۰۴±۱۶۸/۴۵ ^{Ab}	۳۲/۷۹±۲۳۱/۸۵ ^{Aa}
		(۲۴۷-۱۴۰)	(۱۰۵-۲۱۸)	(۱۶۳-۲۷۵)	(۱۳۸-۲۰۰)	(۱۲۳-۱۹۰)	(۱۷۰-۳۲۶)
دنده پشتی	طول	۱۰/۴۰±۸۵/۹۳ ^{Ac}	۱۰/۴۰±۸۵/۹۳ ^{Ab}	۲۳/۳۵±۲۲۰/۴۷ ^{Aa}	۷۵/۹۲±۱۰/۶۰ ^{Bc}	۸/۴۱±۱۰/۹۳ ^{Ab}	۴۸/۶۷±۲۳۸/۵۴ ^{Aa}
		(۱۰/۱۰۶-۵۴/۳۱)	(۵۳/۲۵-۱۶۷/۷۱)	(۱۰۶/۳۶-۲۵۳/۴۵)	(۵۰/۷۴-۱۰۶/۳۱)	(۹۵/۶۲-۱۲۰/۳۵)	(۱۰۰/۲۹۸-۷۷/۱۴)
اندام ژوبر	طول	۳/۹۱±۲۷/۱۰ ^{Ab}	۴/۲۴±۲۵/۶۰ ^{Bb}	۵/۸۹±۳۲/۲۰ ^{Ba}	۲/۸۳±۱۶/۵۵ ^{Bc}	۱/۳۰±۲۸/۹۰ ^{Ab}	۰/۸±۴۰/۵۵ ^{Aa}
		(۲۰-۳۳)	(۱۷-۳۲)	(۲۴-۴۵)	(۱۲-۲۴)	(۲۶-۳۱)	(۲۶-۵۴)

حروف کوچک متفاوت در هر ردیف نشان دهنده اختلاف معنی دار بین گونه های استراتژی در یک منطقه و حروف بزرگ متفاوت در هر ردیف نشان دهنده اختلاف معنی دار در هر گونه استراتژی بین دو منطقه می باشد ($P < 0.05$). واحد اندازه گیری طول کرمها (میلی متر) و سایر شاخصها (میکرون)

اندام ژوبر بین سه گونه اختلاف معنی‌داری وجود دارد ($P < 0.01$). هم‌چنین مقایسه گونه‌های استرتاژیا بین دو منطقه نشان داد که در گونه تلادورساژیا (استرتاژیا) سیرکومسینکتا شاخص‌های طول کل، فاصله خار رأسی از قدام، طول و عرض گوبرناکولوم، طول و عرض کیسه جفت‌گیری، طول دنده پشتی و طول اندام ژوبر تفاوت معنی‌داری وجود دارد. در حالی‌که در گونه استرتاژیا اکسیدنتالیس شاخص‌های طول کل و اندام ژوبر و در گونه استرتاژیا تریفورکاتا طول کل، طول و عرض گوبرناکولوم و اندام ژوبر تفاوت معنی‌داری وجود دارد ($P < 0.05$). هم‌چنین نسبت درصد مری به طول بدن تنها در گونه استرتاژیا اکسیدنتالیس در منطقه جنوب با منطقه غرب، تفاوت معنی‌داری وجود دارد ($P < 0.05$). در جدول ۲ مقایسه شاخص‌های مورفومتریک به دست آمده از جدایه‌های کرم‌های نر استرتاژیا (تلادورساژیا) مطالعه حاضر با سایر منابع نشان‌دهنده تفاوت قابل‌توجه در برخی از شاخص‌هاست.

جدول ۲: مقایسه شاخص‌های مورفومتریک جدایه‌های کرم‌های نر استرتاژیا (تلادورساژیا) جمع‌آوری شده از بزهای غرب ایران با سایر منابع (کوهستانی) و جنوب غرب (جلگه‌ای) ایران با سایر منابع

مطالعه حاضر		Kuchboev (۲۲)			Lichtenfels (۲۲)			منابع
O.o	O.t	T.c	O.t	T.c	O.o	O.t	T.c	شاخص / گونه (نر)
۹/۴۰-۱۱/۱۰	۹/۹۰-۱۱/۷۰	۹/۳۸-۱۱/۹۰	۱۰-۵	۱۰/۱۶-۵	۹/۶۰-۱۰/۵۰	۶/۲۴-۱۰/۷	۵/۴۰-۱۱/۴۰	طول کرم نر
۶۵۶-۹۶۵	۵۳۸-۷۵۸	۵۱۰-۶۹۲	۸۲۰-۶۵۰	۷۰۰-۳۵۰	-	۷۵۰-۶۵۰	۵۲۸-۶۸۴	طول مری
٪۸/۱۱	٪۶/۳۷	٪۶/۳۱	-	-	-	٪۷/۴	٪۷/۷	٪ مری به طول
۲۹۱-۴۴۰	۳۲۰-۴۵۰	۳۱۵-۴۱۷	-	-	۲۵۰-۳۳۳	۲۹۶-۳۹۶	۲۶۴-۴۰۸	خارراسی - فاصله
۲۹۰-۳۱۵	۱۸۰-۲۳۵	۲۹۶-۳۸۵	۳۵۰-۱۱۰	۵۱۰-۳۵۰	-	۱۸۸-۳۱۹	۲۴۲-۴۰۸	طول اسپیکول
۹۵/۶۲-۱۲۰/۳۵	۵۳/۲۵-۱۶۷/۷	۵۰/۷-۱۰۶/۳	۳۲۰-۱۱۰	۲۵۰-۱۱۰	-	-	۵۰/۷۴-۱۰۶/۳۱	دنده پشتی
۲۷۵-۱۶۳	۱۹۰-۱۲۳	۲۰۰-۱۳۸	۴۷۰-۲۰۰	۵۹۰-۳۱۰	-	-	-	طول کیسه جفت‌گیری
۲-۱-۲	۲-۲-۱	۲-۲-۱	-	-	۲-۱-۲	۲-۲-۱	۲-۲-۱	فرمول دنده جنسی
ماده								
-	۱۰/۱۲-۴۰/۵۰	۱۰/۱۲-۶۰/۵۰	۱۵-۸	۹/۱۷-۸/۴	-	-	-	طول کرم
-	۷۴۰-۵۲۶	۷۰۷-۵۴۰	۷۵۰-۶۵۰	۷۸۰-۵۸۰	-	-	-	طول مری
-	۲/۲-۱۸/۵۸	۲/۲-۱۸/۷	۱/۱-۶/۹	۱/۲-۸/۱	-	-	-	منفذ تناسلی تا انتهای دم
-	۸۸-۶۳	۹۱-۶۱	۱۱۰-۶۰	۹۰-۴۰	-	-	-	طول تخم

واحد اندازه‌گیری طول کرم‌ها (میلی‌متر) و سایر شاخص‌ها (میکرون)

نتایج بررسی‌های مولکولی: تکثیر قطعات ITS2 منجر به باندهای حدود ۳۴۰ جفت باز برای همه جدایه‌ها شد (شکل ۲). تمامی توالی‌های مطالعه حاضر، سایر نقاط ایران و سایر کشورها پس از هم‌ترازی بریده و کوتاه شدند و در نهایت قطعات نوکلئوتیدی ۲۸۰ جفت بازی برای آنالیز فیلوژنتیک به دست آمد. نتایج مولکولی نیز موید وجود گونه‌های تلادورساژیا سیرکومسینکتا، تلادورساژیا تریفورکاتا و مارشالاژیا اکسیدنتالیس بود. تمامی پلی‌مورفیسم‌های نوکلئوتیدی، پلی‌مورفیسم‌های تک‌نوکلئوتیدی (SNPs) بودند (جدول

در جدول ۳ شاخص‌های اندازه‌گیری شده در کرم‌های ماده تلادورساژیا (استرتاژیا) سیرکومسینکتا و استرتاژیا تریفورکاتا به تفکیک منطقه ارائه گردیده است. نتایج آزمون آماری آن نشان داد که از نظر طول کل، طول و عرض مری، طول خار رأسی، طول اویژکتور، طول پرده فرجی، فاصله پرده از ابتدای اویژکتور، فاصله پرده از انتهای اویژکتور، فاصله مخرج تا دم، طول و عرض تخم بین دو منطقه تفاوت معنی‌داری وجود ندارد ($P > 0.05$).

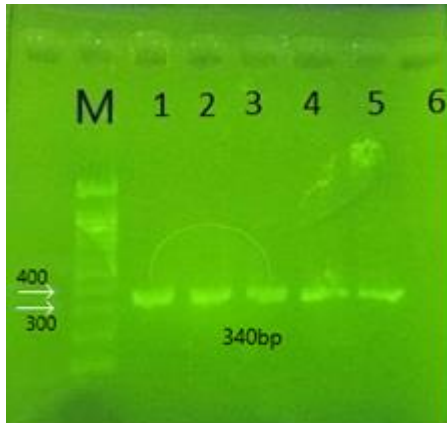
از جدایه‌های تکاب-۱، تکاب-۲ اهواز-۱، مه‌باد، به همراه جدایه‌های از اتریش (KU891926.1)، مراکش (MH047832.1)، ارومیه (MZ148615.1)، ایلام (MK760915/1)، اسکاتلند (AY439025.1) و جداسده از میزبان گوسفند در گروه C قرار گرفتند. جدایه‌های اهواز-۳، اهواز-۴ و اهواز-۲ به تنهایی در شاخه D قرار گرفتند. بررسی نتایج فاصله ژنتیکی نشان داد که بیشترین فاصله ژنتیکی مربوط به نمونه‌های اهواز-۲ (۰/۰۴۷) و اهواز-۴ (۰/۰۵۳) بود (شکل ۳).

۴). براساس تجزیه و تحلیل درخت فیلوژنیک و توزیع SNPs در توالی ITS2 و بررسی همپوشانی جدایه‌های تلادورساژیا سیرکومیسکتا با یکدیگر و توالی مرجع بانک ژن با کد دسترسی MK760915.1، نشان دهنده شباهت ژنتیکی بیش از ۹۹ درصد با یکدیگر و جدایه مرجع بود. جایگزینی A>T بیشترین، C>G و C>A کمترین نوع جهش‌های مشاهده شده بود. آنالیز فیلوژنیک توالی ITS2 گونه جدا شده از بزها در این مطالعه با توالی نماتودهای موجود در بانک ژن نشان دهنده وجود ۴ شاخه ژنتیکی متفاوت بود. توالی‌های به دست آمده

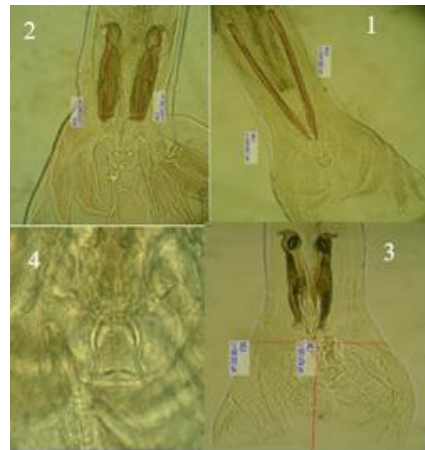
جدول ۳: پارامترهای مورفومتریک جدایه‌های کرم‌های ماده استرناژیا (تلادورساژیا) جمع‌آوری شده از بزهای غرب (کوهستانی) و جنوب غرب (جلگه‌ای) ایران براساس میانگین \pm انحراف معیار و دامنه آن‌ها

جنوب غرب		غرب		شاخص‌ها / منطقه گونه (تعداد)
O.t (۱۰)	T.c (۱۰)	O.t (۱۰)	T.c (۱۰)	
$0.176 \pm 11/23^A$ (۱۰/۳۰ - ۱۲/۴۱)	$0.182 \pm 11/44^A$ (۱۰/۴۰ - ۱۲/۲۰)	$0.186 \pm 11/53^A$ (۱۰/۴۰ - ۱۲/۵۰)	$0.189 \pm 11/62^A$ (۱۰/۶۰ - ۱۲/۵۰)	کرم طول
$0.42 \pm 63/13^A$ (۶۳۲-۶۳۰)	$0.42 \pm 63/13^A$ (۶۳۴-۶۳۱)	$0.185 \pm 632/8^A$ (۶۳۲-۶۳۱)	$629/35 \pm 0.114^A$ (۶۳۰-۶۲۹)	مری طول
$5/10 \pm 68/10^A$ (۶۳-۷۴)	$5/15 \pm 67/4^A$ (۷۳-۶۲)	$5/30 \pm 68/10^A$ (۷۳-۶۲)	$5/63 \pm 68/8^A$ (۷۴-۶۳)	عرض
$5/162^A$	$5/189^A$	$5/149^A$	$5/19^A$	درصد نسبت مری به طول
$0.48 \pm 6/16$ (۵/۶۸-۶/۶۴)	$0.183 \pm 6/3$ (۵/۴۷-۷/۱۳)	$0.18 \pm 5/47$ (۴/۶۷-۶/۲۷)	$0.37 \pm 5/73$ (۵/۶-۳۶/۱)	از قدام فاصله
$44/34 \pm 372/5^A$ (۳۲۸-۴۱۶)	$375/4 \pm 357^A$ (۳۳۱-۴۱۸)	$42/44 \pm 368/9^A$ (۳۲۶-۴۱۱)	$42/57 \pm 364/4^A$ (۳۲۱-۴۰۶)	اوپژکتور (OJ) طول
$27/71 \pm 163/5^A$ (۱۹۱-۱۳۵)	$29/90 \pm 169/3^A$ (۱۳۹-۱۹۹)	$27/61 \pm 160/5^A$ (۱۳۲-۱۸۸)	$28/72 \pm 165/5^A$ (۱۳۶-۱۹۴)	پرده فرجی طول
-----	$24/45 \pm 145/75^A$ (۸۷-۱۸۳)	-----	$146 \pm 8 \ 26/54^A$ (۸۴-۱۸۰)	فاصله پرده از ابتدای OJ طول
-----	$25/91 \pm 206/4^A$ (۱۷۸-۲۵۷)	-----	$25/93 \pm 210/35^A$ (۲۵۵-۱۷۶)	فاصله پرده از انتهای OJ طول
-----	$23/70 \pm 111/7^A$ (۶۶-۱۳۶)	-----	$22/93 \pm 107/3^A$ (۶۷-۱۴۰)	منفذ تناسلی تا انتهای دم طول
$0.33 \pm 2/38^A$ (۲/۰۵-۲/۷۱)	$0.114 \pm 2/34^A$ (۲/۲-۲/۴۸)	$0.2/38 \pm 0/3$ (۲/۱۸-۲/۵۸)	$0.26 \pm 2/44^A$ (۲/۱۸-۲/۷)	مخرج تا انتهای دم طول
$29/54 \pm 444/3^A$ (۴۱۴-۴۷۳)	$47/44 \pm 466/7^A$ (۵۱۵-۴۱۹)	$44/37 \pm 0/457^A$ (۴۱۲-۵۰۱)	$45/37 \pm 477/4^A$ (۴۳۴-۵۲۲)	اندازه تخم عرض
$12/01 \pm 75/88^A$ (۸۸-۶۳)	$12/03 \pm 78/2^A$ (۹۱-۶۶)	$12/02 \pm 75/90^A$ (۸۸-۶۳)	$11/96 \pm 73/6^A$ (۸۶-۶۱)	
$7/52 \pm 39/60^A$ (۴۸-۳۲)	$7/85 \pm 39/60^A$ (۴۸-۳۱)	$7/54 \pm 39/60^A$ (۴۸-۳۲)	$7/61 \pm 39/60^A$ (۴۸-۳۱)	

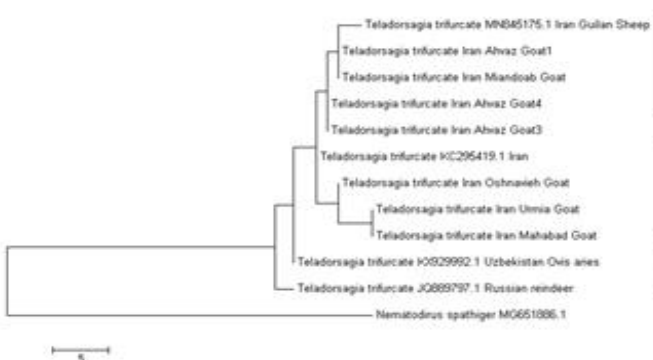
حروف بزرگ متفاوت در هر ردیف نشان دهنده اختلاف معنی‌دار در هر گونه استرناژیا بین دو منطقه می‌باشد ($P < 0.05$). واحد اندازه‌گیری طول کرم‌ها (میلی‌متر) و سایر شاخص‌ها (میکرون)



شکل ۲: ژل الکتروفورز محصولات PCR ژن ITS2 که نشان دهنده تکثیر قطعه‌ای به طول ۳۴۰ bp بود. M (DNA ladder 100bp)، فلش (۴۰۰bp)، خطوط ۱-۳ آمپلیکون جداپه‌های تلادورساژیا سیرکومسینکتا، خطوط ۴ و ۵ به ترتیب جداپه‌های استرتاژیا (تلادورساژیا) تریفورکاتا، استرتاژیا (مارشالاژیا) اکسیدنتالیس و خط ۶ کنترل منفی



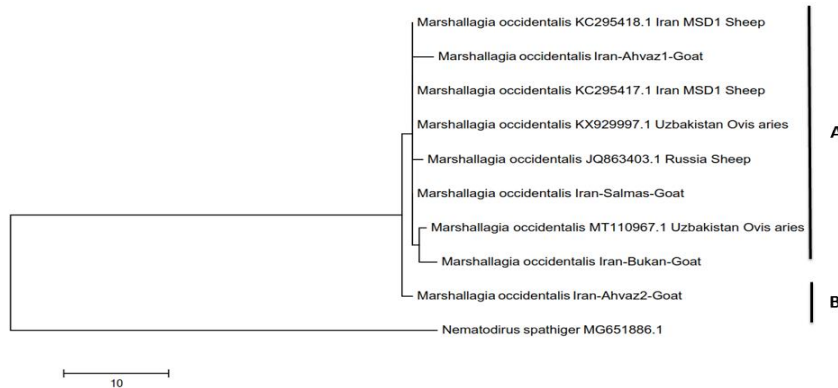
شکل ۱: انتهای خلفی و اسپیکول گونه‌های تلادورساژیا سیرکومسینکتا (۱)، استرتاژیا (مارشالاژیا) اکسیدنتالیس (۲) و استرتاژیا (تلادورساژیا) تریفورکاتا (۳) و اندام ژوبر با بزرگمایی میکروسکوپی X ۱۰۰ (۴)



شکل ۴: درخت فیلوژنی با استفاده از ۱۲ توالی ITS2 از تلادورساژیا تریفورکاتا جدا شده از بزهای غرب و جنوب غرب ایران و توالی‌هایی از کشورهای دیگر که در بانک ژن ثبت شده، ترسیم شده است



شکل ۳: درخت فیلوژنی با استفاده از ۲۳ توالی ITS2 از تلادورساژیا سیرکومسینکتا جدا شده از بزهای غرب و جنوب غرب ایران و توالی‌هایی از کشورهای دیگر که در بانک ژن ثبت شده، ترسیم شده است



شکل ۵: درخت فیلوژنی با استفاده از ۱۰ توالی ITS2 از مارشالاژیا اکسیدنتالیس جدا شده از بزهای غرب و جنوب غرب ایران و توالی‌هایی از کشورهای دیگر که در بانک ژن ثبت شده، ترسیم شده است

جدول ۴: موقعیت پلی مورفیسم تک نوکلئوتیدی ۴ ژنوتیپ در بین توالی های ۲۸۰ bp ITS از گونه های تلادورساژیا سیر کومسینکتا (T.c)، استراتاژیا (تلادورساژیا) تریفورکاتا (O. t) و استراتاژیا (مارشالاژیا) اکسیدنتالیس (O. o) جدا شده از بزهای غرب و جنوب غرب ایران. nm (بدون جهش)

گونه	ژنوتیپ	موقعیت جغرافیایی	SNPs	فنونتیپ
T.c	C	تکاب ۱	۱۸۳T>A	کوچک ترین (Eg, CP, OJ, BL)
		تکاب ۲	۲۲۶C>G	بزرگ ترین (CP, SL, SR, EW, EL, DR, BL)
	D	اهواز ۱	nm	بزرگ ترین (CP, SL, SR, EW, EL, DR, BL)
		مهاباد	nm	بزرگ ترین (CP, SL, SR, EW, EL, DR, BL)
A	اهواز ۳	۲۵۷C>A	کوچک ترین (Eg, CP, OJ, BL)	
	اهواز ۴	T>A۱۳۳	بزرگ ترین (Eg, CP, OJ, BL)	
O.t	A	اهواز ۲	T>A۱۸۹G>C, ۹۷	بزرگ ترین (SO, CP, SL, BO, SR, EW, EL, DR, BL)
		اهواز ۱	nm	کوچک ترین (CP, SL, SR, BO, EW, EL, DR, BL)
	B	میاندواب	۱۸۰C>G	کوچک ترین (CP, SL, SR, BO, EW, EL, DR, BL)
		اهواز ۴	nm	کوچک ترین (Eg, CP, OJ, BL)
O.o	A	اهواز ۳	C>A۱۹۹	بزرگ ترین (CP, SL, SR, EW, EL, DR, BL)
		اشنویه	۸۴C>A	کوچک ترین (SO, CP, SL, SR, BO, DR, BL)
	B	ارومیه	G>T۵۶	بیش ترین (Eg, CP, OJ, BL)
		مهاباد	nm	کوچک ترین (Eg, CP, OJ, BL)
A	اهواز ۱	۲۸A>T, ۱۹۰G>C	بزرگ ترین (CP, SL, SR, EW, EL, DR, BL)	
	سلماس	nm	بزرگ ترین (CP, SL, SR, EW, EL, DR, BL)	
	بوکان	۱۹۶C>G	بزرگ ترین (SO, CP, SL, SR, BO, DR, BL)	
B	اهواز ۲	۹۸C>G, ۱۹۱T>A	کوچک ترین (CP, SL, SR, EW, EL, DR, BL)	

طول کل بدن (BL)، دنده پستی (DR)، طول مری (EL)، عرض مری (EW)، کیسه جفت گیری (BO)، اسپیکول راست (SR)، اسپیکول چپ (SL)، خار راسی (CP)، اندام ژوبر (SO)، طول اویژکتور (OJ) و فاصله خار راسی (CP)، اندازه تخم (Eg).

C>G بیش ترین، A>T, G>C و T>A کم ترین نوع جهش های مشاهده شده بود. آنالیز فیلوژنیک توالی ITS2 نامتودهای جدا شده در این مطالعه با توالی نامتودهای موجود در بانک ژن نشان دهنده وجود ۲ شاخه ژنتیکی متفاوت بود. توالی های به دست آمده از جدایه های اهواز-۱، سلماس و بوکان به همراه جدایه هایی از ایران (KC295417.1) و (JQ889796.1)، ازبکستان (MT110967.1)، روسیه (JQ889796.1) جدا شده از میزبان های گوسفند در گروه A قرار گرفتند. جدایه اهواز-۲ به تنهایی در شاخه B قرار گرفت. بررسی نتایج فاصله ژنتیکی نشان داد که بیش ترین فاصله ژنتیکی مربوط به نمونه های اهواز-۲ (۰/۰۱۹) و بوکان (۰/۰۱۴) بود (شکل ۵).

بحث

نماتود جنس استراتاژیا (تلادورساژیا) متعلق به زیر خانواده اوستراتاژینه از نامتودهای تریکوسترونزیلیده، جزء نامتودهای با اهمیت نشخوارکنندگان به شمار می آید (۲۴). آلودگی به این نماتود در ایران از نشخوارکنندگان

بررسی همپوشانی جدایه های تلادورساژیا تریفورکاتا با یکدیگر و توالی مرجع بانک ژن با کد دسترسی MN84517.1 جدا شده از گوسفند در ایران نشان دهنده شباهت ژنتیکی بیش از ۹۹ درصد با یکدیگر و جدایه مرجع بود. جایگزینی C>A بیش ترین، C>G و G>T کم ترین نوع جهش های مشاهده شده بود. آنالیز فیلوژنیک توالی ITS2 نامتودهای جدا شده در این مطالعه با توالی نامتودهای موجود در بانک ژن نشان دهنده وجود ۳ شاخه ژنتیکی متفاوت بود. توالی های به دست آمده از جدایه های اهواز ۱، میاندواب، اهواز ۴ و اهواز ۳ به همراه جدایه ایران (گیلان) (MN845175.1) جدا شده از میزبان گوسفند در گروه A قرار گرفتند. جدایه های اشنویه، ارومیه و مهاباد به همراه جدایه ای از ایران با کد دسترسی (KC295419.1) در شاخه B قرار گرفتند (شکل ۴). نتایج بررسی همپوشانی جدایه های مارشالاژیا اکسیدنتالیس با یکدیگر و توالی های مرجع بانک ژن با کدهای دسترسی KC295417.1 و KC2954118.1 جدا شده از گوسفند در ایران نشان دهنده شباهت ژنتیکی بیش از ۹۹ درصد با یکدیگر و جدایه مرجع بود. جایگزینی

حاضر (۹/۴۰-۱۲/۳۰) بود در صورتی که توسط Lichtenfels (۵/۴۰-۱۱/۴۰)، Kuchboev (۱۰/۵-۱۶) و Soulsby (۷/۵-۸/۵) اعلام شده است (۲۲، ۲۳). علاوه بر این تفاوت فنوتیپی در سایر نماتودها نیز گزارش شده است. Alborzi و همکاران در شاخص‌های مورفومتریک کرم‌های نر و ماده همونکوس کنتور توس جدا شده از حیوان (بز و گوسفند) و منطقه جغرافیایی غرب (کوهستانی) و جنوب غربی (جلگه‌ای) ایران تفاوت (فنوتیپی) معنی‌داری مشاهده کردند (۱۸). وجود تفاوت‌های مورفومتریک (تغییرات فنوتیپی) در گونه‌ها در مناطق مختلف می‌تواند بیانگر وجود چندشکلی (پلی مورفسم) و یا شکل جزئی (مینورمورف) در آن‌ها باشد (۲۵). به طوری که Dallas و همکاران پلی مورفسم در گونه‌های مارشالاژیا را نیز گزارش کردند (۱۱). در مطالعه حاضر نتایج بررسی‌های شاخص‌های مورفومتریک کرم‌های ماده تادور ساژیا سیرکومسینکتا و استرتاژیا تریفور کاتا نشان داد که در تمام شاخص‌ها (طول کل، طول و عرض مری، نسبت درصدمری به کل بدن، طول خار رأسی از قدام، طول اویژکتور، فاصله مخرج تا دم (طول دم) و طول و عرض تخم) تفاوت معنی‌داری بین دو گونه در دو منطقه جغرافیایی وجود ندارد. برخی از مطالعات نشان داده‌اند که شکل‌های (مورف‌های) گونه‌های چندشکلی دارای ماده‌های یکسان هستند (۲۵)، در صورتی که، Lancaster و Hong شاخص‌هایی برای شناسایی کرم‌های ماده برخی از نماتودهای زیرخانواده استرتاژینه بیان کردند که در مطالعه حاضر مبنای شناسایی کرم‌های ماده تادور ساژیا سیرکومسینکتا و استرتاژیا تریفور کاتا قرار گرفت (۳۲، ۳۳). به هر حال تشخیص جنس ماده برخی گونه‌ها به خصوص گونه استرتاژیا (مارشالاژیا) اکسیدنتالیس براساس ریخت‌شناسی به دلیل عدم وجود و یا شناسایی ویژگی‌های اختصاصی آن به خوبی بیان نشده است (۲۳). به نظر می‌رسد که با توجه به تفاوت معنی‌دار شاخص نسبت درصد طول مری به طول کرم در نرهای مارشالاژیا اکسیدنتالیس ممکن است بتوان از این شاخص برای شناسایی کرم‌های ماده آن استفاده کرد. نتایج مولکولی مطالعه حاضر نیز موید وجود گونه‌های تادور ساژیا سیرکومسینکتا، تادور ساژیا تریفور کاتا و مارشالاژیا اکسیدنتالیس بود. بررسی‌های مولکولی در جدایه‌های تادور ساژیا سیرکومسینکتا، تادور ساژیا تریفور کاتا و مارشالاژیا اکسیدنتالیس از بزهای غرب و جنوب غرب ژنوتیپ‌های ITS2 مختلفی را نشان داد. توالی‌های ITS2 جدایه‌های مختلف، تعداد جایگاه چندشکلی (پلی مورفسم) را در ۱۵ موقعیت نشان داد. همه تغییرات نوکلئوتیدی پلی مورفسم‌های تک نوکلئوتیدی (SNPs) بودند. توالی ITS2 یک ناحیه ژنومی مربوط در میان نواحی کدکننده rRNA ریپوزومی است. مهم‌ترین دلایل کاربرد وسیع آنالیز این ناحیه در مطالعات فیلوژنیک ارگانسیم‌های یوکاریوتی به ویژه انگل‌ها به عنوان یک هدف مولکولی مناسب در مطالعات فیلوژنیک، تفاوت بالای توالی درون و میان گونه‌ها، امکان

گزارش شده است (۶). جنس استرتاژیا از تنوع درون گونه‌ای، طیف وسیع میزبانی و پراکنش جغرافیایی قابل ملاحظه‌ای برخوردار است (۲۵، ۲۶، ۲۷). شناسایی گونه‌های آن در جهان و ایران عمدتاً بر اساس مورفولوژی کرم‌های نر آن‌ها انجام گرفته که با نتایج متفاوتی همراه بوده است (۶، ۲۷، ۲۸). شناسایی و تشخیص چندشکلی (پلی مورفسم) در نرهای آن (استرتاژینه) پیشرفت قابل توجهی داشته است. تعداد متعددی چندشکلی در میان جنس‌ها و گونه‌های آن نیز گزارش شده و برخی از گونه‌ها به عنوان مینورمورف (شکل جزئی) از یک گونه یا ماژور مورف (شکل کلی) بیان شده است (۲۵). در مطالعه حاضر با بررسی شاخص‌های مورفولوژی و مورفومتریک جدایه‌ها وجود ۳ گونه تادور ساژیا سیرکومسینکتا و تادور ساژیا تریفور کاتا و استرتاژیا (مارشالاژیا) اکسیدنتالیس شناسایی شد. Khalil و Gibbons و Durette-Desset به ترتیب در زیرخانواده استرتاژینه، نماتودهای دارای مخروط جنسی بزرگ و فرمول دنده‌ای کیسه جفتگیری (۲-۱-۲) را به عنوان جنس استرتاژیا و نماتودهای فاقد مخروط جنسی و دارای فرمول دنده‌ای (۲-۲-۱) را به عنوان تادور ساژیا مشخص کردند. بر این اساس تادور ساژیا سیرکومسینکتا و تادور ساژیا تریفور کاتا و سایر گونه‌های مشابه نامگذاری شدند (۲۹، ۳۰). Drozd استرتاژیا اکسیدنتالیس را به دلیل وجود مخروط جنسی بزرگ و ویژگی‌های دنده پستی کیسه جفتگیری آن، مارشالاژیا اکسیدنتالیس نامیده و به عنوان مینور مورف از مارشالاژیا مارشالی (ماژور مورف) بیان کرده است (۲۵). نتایج این مطالعه نشان داد بین کرم‌های نر گونه‌های هر دو منطقه جغرافیایی غرب (کوهستانی) و جنوب غرب (جلگه‌ای) از نظر برخی از شاخص‌ها (طول مری، طول و عرض اسپیکول راست و چپ، عرض گوبرناکولوم، کیسه جفت‌گیری)، طول (دنده پستی، اندام ژوبر) اختلاف معنی‌داری (تغییرات فنوتیپی) وجود دارد ($P < 0.001$). نتایج به دست آمده از این مطالعه در مقایسه با سایر مطالعات انجام شده در ایران و سایر نقاط جهان شباهت‌ها یا تفاوت‌هایی نشان داد. Eslami و همکاران، گونه‌های استرتاژیا سیرکومسینکتا، استرتاژیا تریفور کاتا و استرتاژیا اکسیدنتالیس جدا شده از گوسفندان برخی از مناطق ایران براساس خصوصیات مورفولوژی به ویژه ویژگی‌های اسپیکول کرم‌های نر آن‌ها شناسایی و گزارش نمودند (۶). در مطالعه حاضر علاوه بر مورفولوژی، بسیاری از شاخص‌های گونه‌ها به صورت مورفومتریک تعیین و مورد مقایسه قرار گرفت. Hoberg و همکاران با مطالعه تنوع در نماتودهای استرتاژینه در صحرای آفریقا وجود تفاوت‌های مورفولوژیک و مورفومتریک در بین گونه‌های مختلف استرتاژیا را گزارش نمودند (۲۷). مقایسه نتایج به دست آمده با سایر منابع نیز نشان دهنده تفاوت‌هایی در برخی از شاخص می‌باشد، به طور مثال دامنه‌های طول کرم نر (میلی متر) تادور ساژیا سیرکومسینکتا در مطالعه

جدایه از بزهای اهواز (جنوب غرب) در ژنوتیپ B مشاهده شد. در جدایه‌های آن وقوع جهش‌های ژنتیکی در نوکلئوتیدهای ۲۸، ۹۸، ۱۹۰، ۱۹۱ و ۱۹۶ دیده شد. اما در مطالعه Kuchboev جهش‌هایی در نوکلئوتیدهای ۴۲، ۵۴، ۲۱۰ و ۳۱۰ گزارش کردند (۳۶). هدف مطالعه تعیین رابط بین تفاوت‌های شاخص‌های فنوتیپی نماتودها و ژنوتیپ‌های آن‌ها بود. نتایج مطالعه ما نشان داد که اگرچه ژنوتیپ‌های جدایه‌های مختلف این نماتودها دارای ویژگی‌های فنوتیپی متفاوتی بودند اما بین ژنوتیپ‌ها و تغییرات فنوتیپی آن‌ها رابطه مستقیمی وجود نداشت. توجیهات متفاوتی ذکر شده است چنان که در مطالعه Barghandan و همکاران نشان دادند که دو موجود با این که از نظر ویژگی‌های فنوتیپی ممکن است کاملاً به یکدیگر شبیه باشند ولی می‌توانند اختلافات ژنوتیپی قابل توجهی داشته باشند (۳۷). در مطالعه Stevenson و همکاران روی ۳ گونه مختلف تلادورساژیا سیرکومسینکتا، تلادورساژیا تریفورکاتا و تلادورساژیا داوتیانی نشان دادند که با این که بین نرهای آن‌ها تفاوت‌هایی در اندازه‌ها و خصوصیات مورفولوژیکی وجود دارد، اما آن‌ها شکل‌های اولیه متفاوتی از یک گونه هستند (۱۰). نتایج مطالعه حاضر با نتایج مطالعه Sabor Darbandi که بر اساس خصوصیات ریخت‌شناسی اسپیکول ۳ گونه مذکور نمونه گرفته شده از گوسفندان و بزهای برخی از مناطق ایران (تهران، مشهد، بندرعباس) انجام شده است و شباهت ۹۸-۹۷ درصدی ژنوتیپ مولکولی آن‌ها را گزارش کردند (۳۸)، هم‌خوانی دارد. به نظر می‌رسد تغییرات فنوتیپی در کرم‌های نر می‌تواند به عوامل میزبانی (سن، جنس، نژاد، ایمنی) نوع نماتود و به ویژه متغیرهای اکولوژیکی، شرایط اقلیمی محیطی و منطقه‌ای نسبت داد. ممکن است این نماتودها و تغییرات آن‌ها در تغییرات جمعیتی کل و بزها نقش داشته باشند (۳۹). به طور کلی اطلاع از تغییرات فنوتیپی گونه‌های هر منطقه به شناسایی درست گونه‌ها کمک می‌کند. اگرچه روش‌های تشخیصی مورفولوژی و مورفومتريک نماتودها سودمند هستند، اما استفاده روش‌های مولکولی فیلوژنتیکی در جهت تقویت بهبود تشخیص گونه‌ها اهمیت ویژه‌ای خواهد داشت. به نظر می‌رسد که با توجه به تفاوت معنی‌دار شاخص نسبت درصد طول مری به طول کرم در نرهای مارشالاژیا اکسیدنتالیس ممکن است بتوان از این شاخص برای شناسایی کرم‌های ماده آن استفاده کرد. نتایج این مطالعه ارتباط مستقیمی بین ژنوتیپ‌های جدایه‌های مختلف و ویژگی‌های تغییرات فنوتیپی آن‌ها نشان نداد. وجود تغییرات فنوتیپی و ژنوتیپی و تاثیرات احتمالی آن‌ها در روند زیستی، آلودگی میزبان‌ها، بیماری‌زایی، پاسخ‌های ایمنی و روندهای دیگر و رابطه بین این تغییرات نیازمند مطالعات تکمیلی بیش‌تری است. با توجه به آلودگی منطقه‌ای ۳ گونه شناسایی شده استرناژیا، مدیریت برنامه کنترلی آن‌ها ضروری است.

طراحی پرایمر جهت نواحی به شدت حفاظت شده مجاور ITS2، اندازه کوتاه و در دسترس بودن توالی ITS2 بسیاری از گونه‌ها در بانک ژن می‌باشد (۱۵). علاوه بر این تغییرات توالی ITS2 می‌تواند گونه‌های مختلف جنس تلادورساژیا را متمایز کند (۳۴). ژنوتیپ‌ها و تغییرات نوکلئوتیدی متنوعی در جدایه‌های گونه‌های تلادورساژیا و مارشالاژیا در مطالعه حاضر و سایر مطالعات مشاهده و گزارش شده است. تجزیه و تحلیل فیلوژنیک ITS2 توزیع جدایه‌های ما را با جدایه‌های مختلف تلادورساژیا سیرکومسینکتا از کشورهای دیگر در شاخه‌های مختلف نشان داد. مطابق با یافته‌های مطالعه حاضر، تعداد ژنوتیپ‌های ITS2 تلادورساژیا سیرکومسینکتا از گوسفندان اتریش، مراکش، اسکاتلند و ایران (ارومیه و ایلام) در ژنوتیپ C مشاهده شد. ژنوتیپ D فقط در جدایه‌های اهواز در یک شاخه قرار گرفت. در صورتی که سایر ژنوتیپ‌ها در جدایه‌های گوسفند یا بزهای روسیه، ازبکستان، تونس و فرانسه (ژنوتیپ A) و از گوسفندان عراق، ایتالیا، ایران (تبریز و ارومیه) و بزهای چین (ژنوتیپ B) مشاهده شده است. در مورد ژنوتیپ‌های ITS2 تلادورساژیا تریفورکاتا اکثر جدایه‌های اهواز (جلگه‌ای) که با جدایه گوسفندان گیلان (ایران) در ژنوتیپ A، اما جدایه‌های غرب (اشنویه، ارومیه و مهاباد) در ژنوتیپ B مشاهده شده است بنابراین این ژنوتیپ‌ها فقط در ایران مشاهده شد. در صورتی که ژنوتیپ C فقط در گوسفند ازبکستان، گوزن‌های شمالی روسیه قرار گرفته‌اند. بررسی نتایج فاصله ژنتیکی تلادورساژیا سیرکومسینکتا نشان داد که بیش‌ترین فاصله ژنتیکی مربوط به نمونه‌های اهواز-۲ (۰/۴۷) و اهواز-۴ (۰/۵۳) بود. در بررسی آن‌ها تغییرات (جهش) در نوکلئوتیدهای ۹۷، ۱۳۳، ۱۸۳، ۱۸۹، ۲۲۶ و ۲۵۶ مشاهده گردید؛ در صورتی که وقوع این تغییرات ژنتیکی در جدایه‌های تلادورساژیا تریفورکاتا در نوکلئوتیدهای ۵۶، ۸۴، ۱۸۰ و ۱۹۹ نیز مشاهده گردید. در مطالعه Kuchboev و همکاران روی فیلوژنی جدایه‌های تلادورساژیا سیرکومسینکتا از گوسفندان ازبکستان تغییرات (جهش) در محل نوکلئوتیدهای ۶۵ و ۲۰۶ را گزارش کردند (۲۳). در صورتی که Elseadawy و همکاران در مطالعه خود در بررسی‌های ژنتیکی این نماتود در گوسفندان مصر به وقوع جهش در نوکلئوتیدهای ۱۹، ۲۰، ۹۹، ۱۲۳ اشاره نموده‌اند (۳۵). آن‌ها در مطالعه خود فاصله ژنتیکی کم (۰/۰۵ تا ۰/۰۵ درصد) در میان جدایه‌های تلادورساژیا سیرکومسینکتا گوسفندان از مصر را گزارش نمودند، در حالی که فاصله ژنتیکی کلی در بین جدایه‌های گزارش شده جهانی بازایی شده از GenBank از ۰/۰۰ تا ۰/۴۳۲ بود که با مطالعه ما هم‌خوانی دارد (۳۵). در مورد مارشالاژیا اکسیدنتالیس تمام جدایه‌ها بز غرب و جنوب غرب با جدایه‌های از گوسفندان‌های کشورهای دیگر، ازبکستان و روسیه و حتی گوسفندان ایران در ژنوتیپ A مشاهده شد. در صورتی که تنها

for *Parasitology*. 30(7): 863-866. doi:10.1016/s0020-7519(00)00028

12. **Lichtenfels, J. R., Pilitt, P. A. and Hoberg, E. P., 1994.** New morphological characters for identifying individual specimens of *Haemonchus* spp. (Nematoda: Trichostrongyloidea) and a key to species in ruminants of North America. *The Journal of parasitology*. 80(1): 107-119. doi: 10.2307/3283353
13. **Ahmed, N., Roy, B.C., Hasan, M.M., Zim, M.M.R., Biswas, H. and Talukder, M.H., 2023.** Molecular and phylogenetic characterization of zoonotic *Trichostrongylus* species from goats for the first time in Bangladesh. *Transactions of The Royal Society of Tropical Medicine and Hygiene*. 117(10): 705-713. doi: 10.1093/trstmh/trad034
14. **Dallas, J.F., Irvine, R.J. and Halvorsen, O., 2000.** DNA evidence that *Ostertagia gruehneri* and *Ostertagia arctica* (Nematoda: Ostertagiinae) in reindeer from Norway and Svalbard are conspecific. *International Journal for Parasitology*. 30(5): 655-658. doi: 10.1016/S0020-7519(00)00028-X
15. **Schultz, J. and Wolf, M., 2009.** ITS2 sequence-structure analysis in phylogenetics: a how-to manual for molecular systematics. *Molecular Phylogenetics and Evolution*. 52(2): 520-523. doi: 10.1016/j.ympev.2009.01.008
16. **Sankar, M., Prasad, A., Kumar, M. and Singh, C., 2007.** Morphological and molecular identification of *Teladorsagia (Ostertagia) circumcincta* from goats. *Journal of Veterinary Parasitology*. 21(1): 21-24. doi: 10.3390/pathogens12020186
17. **Oliaee, A., Eslami, A., Bokaie, S. and Hoghooghi-Rad, N., 2011.** A Study on Polymorphism of Trichostrongylidae Nematodes in Abomasum of Sheep in Iran. *Veterinary Microbiology*. 7: 37-47. doi: 10.22059/jvr.2017.61286 (In Persian)
18. **Alborzi, A.R., Mehdizadeh, A., Hamidinejat, H., Tabandeh, M.R. and Pourmehdi-Borujeni, M., 2023.** Morphometric and phylogenetic study of *Haemonchus* isolates in small ruminants from mountainous (Lorestan) and plain (Khuzestan) regions of Iran. *Small Ruminant Research*. 219(5): 106913. doi: 10.1016/j.smallrumres.2023.106913
19. **Daniel, E.L. and Mahdi, A.A., 2006.** Culture and customs of Iran Westport, CT: Greenwood Press. 81-82
20. **Vadlejch, J., Lukesova, D., Vasek, J., Vejil, P., Sedlak, P., Cadkova, Z. and Salaba, O., 2014.** Comparative morphological and molecular identification of *Haemonchus* species in sheep. *Helminthologia*. 51(2): 130-140. doi: 10.2478/s11687-014-0220-0
21. **Hosseinnezhad, H., Sharifdini, M., Ashrafi, K., Atrkar Roushan, Z., Mirjalali, H. and Rahmati, B., 2021.** Trichostrongyloid nematodes in ruminants of northern Iran: prevalence and molecular analysis. *BMC Veterinary Research*. 17(1): 1-12. doi: 10.1186/s12917-021-03086-3
22. **Lichtenfels, J.R., Hoberg, E.P. and Zarlenga, D.S., 1997.** Systematics of gastrointestinal nematodes of domestic ruminants: advances between 1992 and 1995 and proposals for future research. *Veterinary Parasitology*. 72(3-4): 225-245.
23. **Kuchboev, A., Amirov, O., Soliyeva, G., Karimova, R., Sabirov, H., Abramotov, M., and Kakhramanov, B., 2021.** Morphological and molecular identification three species *Teladorsagia* (Nematoda: Trichostrongylidae) in sheep, Uzbekistan. In *IOP Conference Series: Earth and Environmental Science*. 939(1): 012078. doi: 10.1088/1755-1315/939/1/012078

تشکر و قدردانی

نویسندگان این مقاله مراتب تشکر و امتنان خود را از معاونت محترم پژوهشی دانشگاه شهید چمران اهواز که هزینه این تحقیق را در قالب پژوهانه از طریق هزینه‌کرد پایان‌نامه PhD انگل‌شناسی دانشکده دامپزشکی دانشگاه شهید چمران اهواز فراهم نموده‌اند، اعلام می‌دارند.

منابع

1. **Anderson, RC., 2000.** Nematode parasites of vertebrates: their development and transmission: Cabi Publish, Wallingford, Oxon, UK. 102-104. doi: 10.1079/9780851994215.0000
2. **Charlier, J., van der Voort, M., Kenyon, F., Skuce, P. and Vercruysse, J., 2014.** Chasing helminths and their economic impact on farmed ruminants. *Trends in parasitology*. 30(7): 361-367. doi: 10.1016/j.pt.2014.04.009
3. **Eslami, A., 1997.** Veterinary helminthology (nematoda, acanthocephala. Tehran Uni Publication. 332-347. (In Persian)
4. **Ashrafi, K., Sharifdini, M., Heidari, Z., Rahmati, B. and Kia, E.B., 2020.** Zoonotic transmission of *Teladorsagia circumcincta* and *Trichostrongylus* species in Guilan province, northern Iran: molecular and morphological characterizations. *BMC Infectious Diseases*. 20: 1-9. doi: 10.1186/s12879-020-4762-0
5. **Hosseinnezhad, H., Sharifdini, M., Ashrafi, K., Atrkar Roushan, Z., Mirjalali, H. and Rahmati, B., 2021.** Trichostrongyloid nematodes in ruminants of northern Iran: prevalence and molecular analysis. *BMC Veterinary Research*. 17(1): 1-12. doi: 10.1186/s12917-021-03086-3
6. **Eslami, A.H. and Nabavi, L., 1976.** Species of gastro intestinal nematodes of sheep from Iran. *Bulletin de la Société de Pathologie Exotique*. 69(1): 92-95. PMID: 1036478
7. **Hashemzadeh Farhang, H., Shahbazi, P. and Fard Manafi Rad, F., 2011.** The Infestation rate of heamoparasite in Slaughtered sheep and goats of Tabriz abattoir. *Food Hygiene*. 1(1): 17-21. (In Persian)
8. **Nazarbeigy, M., Yakhchali, M. and Pourahmad, F., 2021.** Molecular study on parasitic nematodes infection in the abomasum of sheep in Ilam, Iran. *Veterinary Research Forum*. 12(2): 229-233. doi: 10.30466/vrf.2019.108916.2587.
9. **Altaş, M., Sevgili, M., Gökçen, A. and Bayburs, H.C., 2006.** Sanliurfa yoresindeki koyunlarda sindirim sistemi nematodlarının yaygınlığı [Prevalence of gastrointestinal nematodes in sheep in the Sanliurregion]. *Turkiye parazitolojii dergisi*. 30(4): 317-321.
10. **Stevenson, L.A., Gasser, R.B. and Chilton, N.B., 1996.** The ITS-2 rDNA of *Teladorsagia circumcincta*, *T. trifurcata* and *T. davtiani* (Nematoda: Trichostrongylidae) indicates that these taxa are one species. *International Journal for Parasitology*. 26(10): 1123-1126. https://doi.org/10.1016/S0020-7519(96)80013-0
11. **Dallas, J.F., Irvine, R.J., Halvorsen, O. and Albon, S.D., 2000.** Identification by polymerase chain reaction (PCR) of *Marshallagia marshalli* and *Ostertagia gruehneri* from Svalbard reindeer. *International Journal*

- Veterinary Research*. 72(3): 283-288. doi: 10.22059/JVR.2017.226031.2577
39. **Hajizadeh, G., Ghasemi, A., Hosseini Qomi, M., Ghanipour, D. and Behzadian, S., 2015.** Investigating changes in total population density of wild goat (*Capra aegagrus*) in three census areas of Arsbaran protected area. *Journal of Animal Environment*. 7(3): 21-28. (In Persian)
 24. **Daskalov, P., 1974.** On the reproductive relationships between *Ostertagia circumcincta*, *Teladorsagia davtiani* and *O. trifurcata* (Nematoda, Trichostrongylidae). 59-72.
 25. **Drozd, J., 1995.** Polymorphism in the Ostertagiinae Lopez-Neyra, 1947 and comments on the systematics of these nematodes. *Systematic Parasitology*. 32(2): 91-99.
 26. **Torina, A., Dara, S., Marino, A.M.F., Sparagano, O.A.E., Vitale, F., Reale, S. and Caracappa, S., 2004.** Study of gastrointestinal nematodes in Sicilian sheep and goats. *Annals of the New York Academy of Sciences*. 1026(1): 187-194. doi: 10.1196/annals.1307.028
 27. **Hoberg, E.P., Abrams, A. and Ezenwa, V.O., 2008.** An exploration of diversity among the Ostertagiinae (Nematoda: Trichostrongyloidea) in ungulates from sub Saharan Africa with a proposal for a new genus. *Journal of Parasitology*. 94(1): 230-251. <https://doi.org/10.2307/3283353>
 28. **Wyrobisz-Papiewska, A., Kowal, J., Nosal, P., Chovancová, G. and Rehbein, S., 2018.** Host specificity and species diversity of the Ostertagiinae Lopez-Neyra, 1947 in ruminants: a European perspective. *Parasites and Vectors*. 11(1): 1-10. doi: 10.1186/s13071-018-2958-6
 29. **Gibbons, L.M. and Khalil, L.F., 1982.** A key for the identification of genera of the nematode family Trichostrongylidae Leiper, 1912. *Journal of Helminthology*. 56(3): 185-233. doi: 10.1017/s0022149x00034581
 30. **Durette-Desset, M.C., 1983.** Keys to genera of the superfamily Trichostrongyloidea. *CIH keys to the nematode parasites of Vertebrates*. 10:86.
 31. **Soulsby, E.J.L., 1982.** Helminths, Arthropods and Protozoa of Domesticated Animals. 7th Edition, Balliere, Tindall and Cassel, London. 227-230.
 32. **Lancaster, M.B. and Hong, C., 1990.** The identification of females within the subfamily Ostertagiinae Lopez Neyra 1947. *Veterinary Parasitology*. 35(1-2): 21-27. doi: 10.1016/0304-4017(90)90113-p
 33. **Dunn Angus, M., 1969.** *Veterinary Helminthology* (2nd edit.) London: William Heinemann Medical Books Ltd. 22-24
 34. **Zarlenga, D.S., Hoberg, E.P., Stringfellow, F. and Lichtenfels, J.R., 1998.** Comparisons of two polymorphic species of *Ostertagia* and phylogenetic relationships within the Ostertagiinae (Nematoda: Trichostrongyloidea) inferred from ribosomal DNA repeat and mitochondrial DNA sequences. *The Journal of parasitology*. 84(4): 806-812. <https://doi.org/10.2307/3284592>
 35. **Elseadawy, R., Abbas, I., Al-Araby, M., Hildreth, M.B. and Abu-Elwafa, S., 2019.** First evidence of *Teladorsagia circumcincta* infection in sheep from Egypt. *Journal of parasitology*. 105(4): 484-490. PMID: 31268411
 36. **Kuchboev, A., Sobirova, K., Karimova, R., Amirov, O., von Samson-Himmelstjerna, G., and Krücken, J., 2020.** Molecular analysis of polymorphic species of the genus *Marshallagia* (Nematoda: Ostertagiinae). *Parasites & vectors*. 131(1): 1-12. doi: 10.1186/s13071-020-04265-1
 37. **Barghandan, T., Hajjalilo, E., Sharifdini, M. and Javadi, A., 2019.** Prevalence and phylogenetic analysis of gastrointestinal helminths (Nematoda: Trichostrongylidae) in ruminant livestock of northwest Iran. *Ankara Üniversitesi Veteriner Fakültesi Dergisi*. 67(1):65-72.
 38. **Sabor Drbandi, M., Jalousian, F. and Meshgi, B., 2017.** Phylogenetic study of *Ostertagia* species. *Journal of*